

2.31 Bemerkung: Analog zur Faserfolge von  $f: (X, *) \rightarrow (Y, *)$  können wir die "Kofaserfolge" von  $f$  bilden. Sei  $C(f)$  der Kegel von  $f$ , definiert als  $CX \vee Y / \sim$ , wobei  $\sim$  durch  $(x, 0) \sim f(y)$  erzeugt ist. Die Folge  $X \xrightarrow{f} Y \xrightarrow{i_1} C(f)$ , mit  $i_1$  die offensichtliche Inklusion, ist co-exakt in  $\text{Kotop}_*$ :  
 $[C(f), Z]_* \xrightarrow{i_1^*} [Y, Z] \xrightarrow{f^*} [X, Z]$  ist exakt in punktl. Mengen.

Dann kann man, analog zur obigen Diskussion, ein Diagramm konstruieren, das p. Homotopie kommutativ ist.

$$\begin{array}{ccccc}
 C(f) & \xrightarrow{i_2} & C(i_1) & \xrightarrow{i_3} & C(i_2) \\
 \searrow & & \downarrow = & & \downarrow = \\
 & & \Sigma X & \xrightarrow{\Sigma f} & \Sigma Y
 \end{array}$$

Dann erhält die lange Kofaserfolge (oder Puppe-Folge)  
 $X \xrightarrow{f} Y \xrightarrow{i} C(f) \xrightarrow{\cong} \Sigma X \xrightarrow{\Sigma f} \Sigma Y \xrightarrow{\Sigma i} \Sigma C(f) \xrightarrow{\Sigma j} \Sigma^2 X \rightarrow \dots$   
 die in  $\text{Kotop}_*$  co-exakt ist.

2.32 Bemerkung: nach der Diskussion 1.30-138 können wir noch erwähnen: Ist  $X$  punktiert, was ist die Verbindung zwischen  $\pi_n X = [S^n, X]_*$  und  $[S^n, X]$ ? Wir heben eine Abbildung  $\phi: [S^n, X]_* \rightarrow [S^n, X], [f]_* \rightarrow [f]$ .

Ist  $X$  wegzusammenhängend, so ist  $\phi$  surjektiv:

Ist  $f: S^n \rightarrow X$  gegeben. Wähle ein Weg  $w$  von  $*$  nach  $f(*)$ .

Dann gilt  $f \cong f_w$  (frei)  $\Rightarrow [f] = \phi([f_w])$ .

Dann ist  $[S^n, X]_* / \pi_1(X) \xrightarrow{\phi} [S^n, X]$  eine Bijektion.

2.33 Satz: Sei  $E \xrightarrow{p} B$  eine Serre-Faserung, und sei  $X$  ein CW-Komplex. Dann hat  $p$  die Homotopieerhochhebungs-Eigenschaft bezüglich  $X$ .

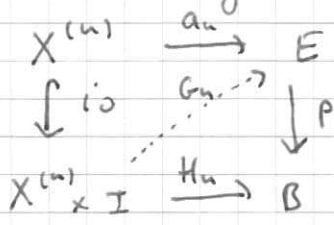
Beweis: Sei  $p$  gegeben ein HH-Problem

$$\begin{array}{ccc}
 X & \xrightarrow{a} & E \\
 \text{id} \downarrow & & \downarrow p \\
 X \times I & \xrightarrow{H} & B
 \end{array}$$

Für  $n > 0$ , sei  $X^{(n)}$  der  $n$ -Skelet

von  $X$ ,  $i_n: X^{(n)} \hookrightarrow X$  die Inklusion, und betrachte die

Einschränkung des Diagramms auf  $X^{(n)}$ :



Da  $X$  und  $X \times I$  die schwache Topologie bezüglich  $X^{(n)}$  und  $X^{(n)} \times I$  haben, genügt es, solche Lösung  $G_n$  zu

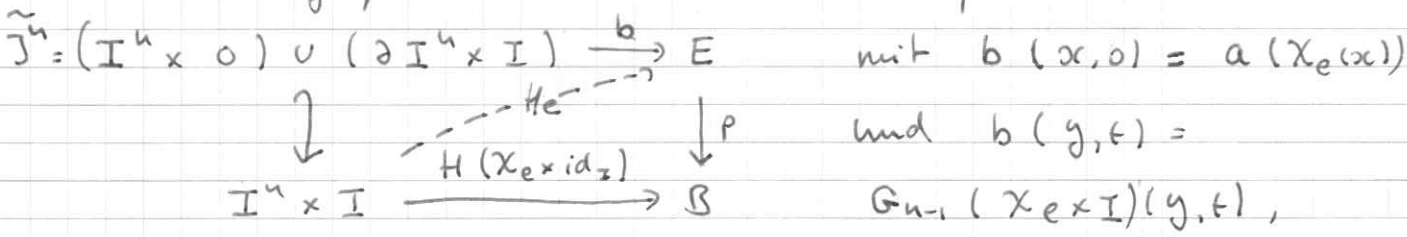
finden, für alle  $n \geq 0$ , mit  $G_n|_{X^{(n-1)} \times I} = G_{n-1}$ ,  $\forall n \geq 1$ .

$n=0$ :  $X^{(0)}$  ist diskret. Für jedes  $x \in X^{(0)}$  ist  $\begin{array}{ccc} \{x\} \xrightarrow{a_0} E \\ \downarrow i_0 \nearrow G_x \downarrow p \\ \{x\} \times I \xrightarrow{H_0} B \end{array}$  lösbar; Wähle  $G_x$ ; Dann ist

$$G_0: X^{(0)} \times I = \coprod_{x \in X^{(0)}} \{x\} \times I \xrightarrow{\coprod G_x} E \text{ die gesuchte}$$

Lösung.

Sei nun  $n \geq 1$  und  $G_{n-1}$  gegeben. Sei  $e$  eine  $n$ -Zelle von  $X$ , und sei  $\chi_e: (I^n, \partial I^n) \rightarrow (X^{(n-1)} \cup e, X^{(n-1)})$  eine Char. Abbildung für  $e$ . Betrachte das Diagramm



für  $x \in I^n$  und  $y \in \partial I^n$ . Da das Paar  $(I^n \times I, \tilde{J}^n)$  Homöomorph zu  $(I^n \times I, I^n \times 0)$  ist, haben wir hier eine Hochhebung  $H_e: I^n \times I \rightarrow E$ . Wähle solche Hochhebung für jede  $n$ -Zelle  $e$  in  $X$ .

Definiere  $G_e: \bar{e} \times I \rightarrow E$  durch  $G_e(\chi_e(x), t) = H_e(x, t)$ .  
Es ist klar dass  $G_e$  wohldefiniert und stetig ist, und  $G_e|_{(\partial \bar{e}) \times I} = G_{n-1}|_{(\partial \bar{e}) \times I}$ .

Also erhalten wir eine wohldefinierte Abbildung wie gewünscht

$$G_n = (\cup_e G_e) \cup G_{n-1}: X^{(n)} \times I = (\cup_{e \text{ n-Zelle}} \bar{e} \cup X^{(n-1)}) \times I \rightarrow E$$

Die Einschränkung von  $G_n$  auf  $\bar{e} \times I$  für jede  $n$ -Zelle  $e$  und  $m \leq n$  ist stetig.  $X^{(n)} \times I$  hat die schwache Topologie bezüglich  $\{\bar{e} \times I \mid e \text{ m-Zelle}, m \leq n\}$ , also ist  $G_n$  stetig. #

z.34 Referenz: Gute Quelle für Faktionen: ED-K-P Kap 3.

Folgende Def. hatten wir am Ende von II, Kap 1 kurz erwähnt.

3.1 Definition: Sei  $(X, A)$  ein Paar von Hausdorff-Räumen.

Ein CW-Zerlegung von  $X$  relativ  $A$  ist ein Paar  $(K, \Phi)$ ,

wobei  $K$  eine Familie von (offenen) Zellen in  $X$  ist, und

$$\Phi = \{ \chi_e : D^{\dim(e)} \rightarrow X \mid e \in K \}, \text{ so dass}$$

(a)  $X = A \amalg \bigsqcup_{e \in K} e$  (als Mengen). Wir setzen

$$X^{(-1)} = A \text{ und } X^{(n)} = A \cup \bigcup \{ e \in K \mid \dim(e) \leq n \}, \text{ mit}$$

der Teilraumtopologie.

(b)  $\chi_e : (D^n, S^{n-1}) \rightarrow (X^{(n-1)} \cup e, X^{(n-1)})$  und  $\chi_e|_{D^n} : D^n \rightarrow e$  ist ein Homöo.

(c)  $\bar{e}$  liegt in einer Vereinigung von  $A$  mit endlich vielen Zellen.

(d)  $B \subset X$  ist genau dann abgeschlossen, wenn  $B \cap Z$  abgeschlossen in  $Z$  ist, für alle  $Z \in \{ A \} \cup \{ \bar{e} \mid e \in K \}$ .

3.2 Bemerkungen: (a) Ein CW-Zerlegung von  $X$  ist das gleiche, wie eine CW-Zerlegung von  $X$  relativ  $\emptyset \subset X$ . Die Ergebnisse aus II Kapitel 1 gelten auch für relative CW-Komplexe. Insbesondere:

(b)  $X^{(n)}$  ist abgeschlossen in  $X$ ,  $\forall n \geq -1$  ( $\Rightarrow A \subset X$  abs.)

(c) Sind  $A \subset Y_i \subset X$  Unterkomplexe relativ  $A$ , so sind  $\bigcap Y_i$  und  $\bigcup Y_i$  auch Unterkomplexe relativ  $A$ .

(d) man kann relative CW-Komplex auch induktiv konstruieren:

$$A = X^{(-1)} \subset X^{(0)} \subset X^{(1)} \subset \dots \subset X, \text{ so dass } A \text{ Hausdorff}$$

ist,  $X^{(n)}$  enthält von  $X^{(n-1)}$  durch anheften von  $n$ -Zellen, und  $X = \bigcup_{n \geq -1} X^{(n)}$  hat die schwache Topologie bezüglich  $\{ X^{(n)} \}_{n \geq -1}$ , so ist  $(X, A)$  ein relativer CW.

(e)  $K \subset X$  kompakt trifft nur endlich vielen Zellen von  $X$

(f) Ist  $A \subset Y \subset X$  ein relativer Unterkomplex, so ist  $Y \hookrightarrow X$  eine Co-faserung.

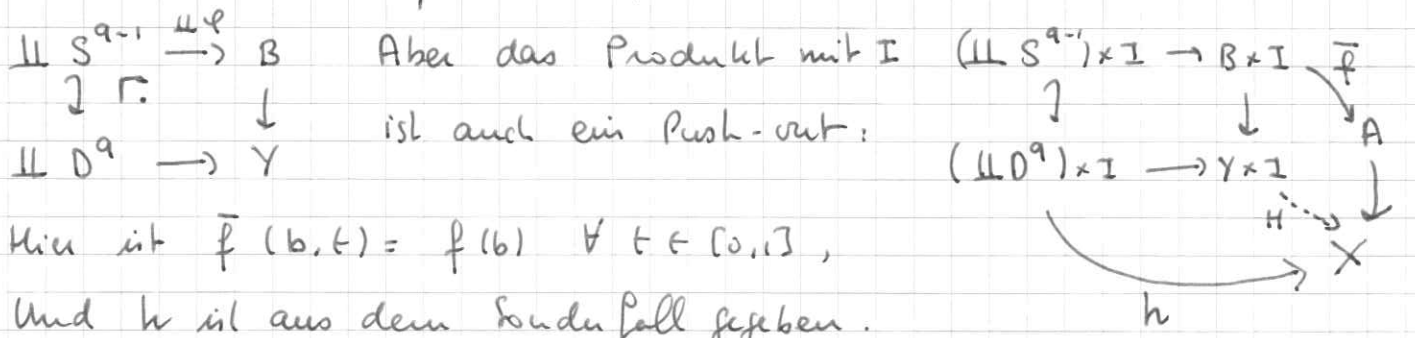
3.3 Lemma: Sei  $n \geq 0$  und  $(X, A)$  ein Paar von Räumen. Die

folg. Eigenschaften sind äquivalent:

- (a)  $(X, A)$  ist  $n$ -zusammenhängend
- (b) Sei  $(Y, B)$  ein relativer CW-Komplex mit  $\dim(Y) \leq n$ ,  
 (hier:  $\dim(Y) = \max \{-1, m \mid \exists e \text{ Zelle von } Y, \dim(e) = m\}$ )  
 und  $f: (Y, B) \rightarrow (X, A)$  stetig, so  $\exists g: (Y, B) \rightarrow (X, A)$   
 mit  $f = g$  rel  $B$  und  $g(Y) \subset A$ .

Beweis (a)  $\Rightarrow$  (b) Wir betrachten zuerst den Sonderfall  $n \geq 1$   
 $(Y, B) = (D^q, S^{q-1})$  mit  $1 \leq q \leq n$ . Wir haben  $\pi_q(X, A, a) = 0$   
 $\forall a \in A$ . Also ist  $f$  als Abbildung von Paare Homotop zur  
 konstanten Abbildung mit Bild  $a$ . Lemma 1.44  $\Rightarrow$  (b). Nun

allgemeiner: Falls  $\dim(Y) = -1$  gilt  $Y = B$ ; den Fall  $\dim Y = 0$   
 wird leicht separat behandelt. Induktion auf Skelet: wir können  
 annehmen:  $B = Y^{(e)}$  und  $f(B) \subset A$ , für ein  $0 \leq e < q \leq n$ , und  $Y$  entsteht  
 von  $B$  durch anheften von  $q$ -Zellen: wir haben ein Push-out



Da  $h_1((\mathbb{H} D^q \times I) \subset A$  gilt auch  $H_1(Y) \subset A$ .

(b)  $\Rightarrow$  (a). Sei  $x \in X$ , und  $f: (D^0, \emptyset) \rightarrow (X, A)$ .

Dann gibt uns (b) ein Weg von  $x$  nach  $A$ , also ist  $(X, A)$   
 $0$ -Zusammenhängend. Dank der LEF im Homotopie des Paares  $(X, A)$   
 genügt es zu zeigen:  $\pi_q(A, +) \xrightarrow{j_*} \pi_q(X, +)$  ist surjektiv für  
 $q \leq n$  und injektiv für  $q \leq n-1$ .

Surjektiv: folgt aus (b) für  $(Y, B) = (I^q, \partial I^q)$ .

Injektiv: folgt aus (b) für  $(Y, B) = (I^q \times I, \partial(I^q \times I))$ . #

3.4 Satz: Sei  $(X, A)$  ein relativer CW-Komplex. Dann ist  $(X, X^{(n)})$   $n$ -zusammenhängend,  $\forall n \geq 0$ .

Beweis: Es ist klar, dass jede Wegzusammenhangskomponente von  $X$  den Raum  $X^{(0)} = A \cup \{0\text{-Zellen}\}$  trifft, also ist  $(X, X^{(n)})$   $0$ -zusammenhängend,  $\forall n \geq 0$ . Ebenso ist  $(X^{(k)}, X^{(n)})$   $0$ -zusammenhängend,  $\forall k \geq 0$ . Der Beweis geht in Schritten

(A)  $(X^{(n+1)}, X^{(n)})$  ist  $n$ -zusammenhängend: Sei  $K_{n+1}$  die Menge der  $(n+1)$ -Zellen in  $X$ ,  $U = \bigcup_{e \in K_{n+1}} e \subset X^{(n+1)}$  und  $V = X^{(n)} \cup \bigcup_{e \in K_{n+1}} \tilde{e}$  mit  $\tilde{e} = X_e(D^n \setminus 0)$ .

Dann sind  $U, V$  offen in  $X^{(n+1)}$ ,  $X^{(n+1)} = U \cup V$ , und  $(U, U \cap V) = \coprod_{e \in K_{n+1}} (e, \tilde{e}) \cong \coprod_{e \in K_{n+1}} (D^{n+1}, D^n \setminus 0) \cong$

$\coprod_{e \in K_{n+1}} (D^{n+1}, S^n)$ ; Insbesondere ist  $(U, U \cap V)$  dank 1.53 (1) (und die LEF des Paares  $(D^{n+1}, S^n)$ )  $n$ -zusammenhängend.

Also ist dank 1.43 die Inklusion  $(U, U \cap V) \hookrightarrow (X^{(n+1)}, V)$   $n$ -zusammenhängend; Also ist  $(X^{(n+1)}, V)$   $n$ -zusammenhängend. Aber  $V \cong X^{(n)}$ , also folgt auch  $(X^{(n+1)}, X^{(n)})$  ist  $n$ -zusammenhängend.

(B)  $(X^{(k)}, X^{(n)})$  ist  $n$  zusammenhängend für alle  $k > n$ :

Induktion auf  $k$ :  $k = n+1$ , das ist (A). Sei  $k > n+1$  und beweisen, dass  $(X^{(k-1)}, X^{(n)})$   $n$ -zus. ist.

Das Paar  $(X^{(k)}, X^{(k-1)})$  ist  $n$ -zusammenhängend. Aus der LEF des Tripels  $(X^{(k)}, X^{(k-1)}, X^{(n)})$  folgt, dass auch  $(X^{(k)}, X^{(n)})$   $n$ -zusammenhängend ist.

(C)  $(X, X^{(n)})$  ist  $n$ -zusammenhängend: Folgt aus einer relativen Version von Aufgabe 3.4. Oder: Jede Abbildung

$(D^q, S^{q-1}) \rightarrow (X, X^{(n)})$  faktorisiert über  $(D^q, S^{q-1}) \rightarrow (X^{(k)}, X^{(n)})$  für  $k$  gross genug. ##

3.5 Theorem (Zelluläre-Approximation). Sei  $f: X \rightarrow Y$  eine stetige Abbildung zwischen CW-Komplexen. Dann ist  $f$  zu einer zellulären Abbildung  $g: X \rightarrow Y$  homotop (also  $g(X^{(k)}) \subset Y^{(k)} \forall k$ ). Ist  $A \subset X$  ein Unterkomplex und  $f|_A$  zellulär, so kann man auch  $f \simeq g$  rel  $A$  verlangen.

Beweis: Wir konstruieren per Induktion auf  $n$  Homotopien  $H^n: X \times I \rightarrow Y$  mit  
 (a)  $H^n_0 = f$  und  $H^n_t = H^{n-1}_t$  für  $t \geq 1$ .  
 (b)  $H^n_t(X^{(k)}) \subset Y^{(k)}$  für  $k \leq n$   
 (c)  $H^n_t = H^n_0$  auf  $X^{(n-1)} \cup B$ ,  $\forall t \in (0,1)$ .

Für den Induktionsschritt können wir annehmen:  $f(X^{(k)}) \subset Y^{(k)}$  für  $k < n$ ,  $n \geq 0$ . Sei  $e$  eine  $n$ -Zelle von  $X^{(n)} \setminus B$ , mit Karakt. Abbildung  $\chi_e: (D^n, S^{n-1}) \rightarrow (X^{(n)}, X^{(n-1)})$ . Da  $(Y, Y^{(n)})$   $n$ -zusammenhängend ist ist  $f \circ \chi_e$  Homotop relativ  $S^{n-1}$  zu einer Abbildung mit Bild in  $Y^{(n)}$ .

Damit können wir eine Homotopie  $\bar{H}^n: (X^{(n)} \cup B) \times I \rightarrow Y$  rel  $X^{(n-1)} \cup B$  definieren, mit  $\bar{H}^n_0 = f$  und  $\bar{H}^n_t(X^{(n)}) \subset Y^{(n)}$ .

Da  $X^{(n)} \cup B \hookrightarrow X$  eine Kopfeinbettung ist, können wir  $\bar{H}^n$  zur gesuchten Homotopie  $H^n$  erweitern. Somit ist die Konstruktion von  $\{H^n\}_{n \geq 0}$  beendet.

Wir setzen nun die  $H^n$  nacheinander: Sei  $H: X \times I \rightarrow Y$  durch  

$$H(x,t) = \begin{cases} H^i(x, 2^{i+1}(t-1+2^{-i})) & 1-2^{-i} \leq t \leq 1-2^{-(i-1)} \\ H^i(x,1) & x \in X^{(i)}, t=1. \end{cases}$$
 Es ist offensichtlich, dass  $H|_{X^{(i)} \times I}$  stetig ist,  $\forall i$ . Da  $X \times I$  die schwache Top. bezüglich  $X^{(i)} \times I$  hat, ist  $H$  stetig.  $\#$

3.6 Lemma: Seien  $F_0, F_1: X \rightarrow Y$  zelluläre Abbildungen mit  $F_0 \simeq F_1$  rel  $B$ ,  $B \subset X$  Unterkomplex. Dann existiert eine Homotopie  $F: X \times I \rightarrow Y$  rel  $B$  mit  $F(X^{(n)} \times I) \subset Y^{(n+1)}$  zwischen  $F_0$  und  $F_1$ .